

# DİELEKTRİK SIVISINA METAL TOZU KATKILI ELEKTRO EROZYON İLE İŞLEME

Orhan Gülcen

TUSAŞ-Türk Havacılık ve Uzay Sanayi AŞ,  
Ankara  
ogulcan@tai.com.tr

## ÖZET

Toz katkılı elektro erozyon ile işleme, elektriksel kivircıların malzeme aşındırılmasında kullanıldığı klasik elektro erozyon ile işlemenin özel bir türüdür. Toz katkılı elektro erozyon ile işleme, işlem performansını artırmak için dielektrik sıvısına iletken metal tozu ilave edilmesi esasına dayanır. Bir karıştırıcıyla sürekli olarak karıştırılan dielektrik sıvısında, iş parçası ile elektrot arasındaki çalışma boşluğununda hareket eden iletken metal tozları, akımın elektrottan iş parçasına ilettilmesinde kullanılır. Bu metal tozları sayesinde daha hızlı kivircımlama, daha yüksek iş parçası aşındırma oranı ve daha iyi yüzey kalitesi elde edilir. Bu çalışmada, bu yöntem hakkında literatürde yapılan çalışmalar sunulacak ve bundan sonra yapılabilecek muhtemel uygulamalardan bahsedilecektir.

**Anahtar Kelimeler:** Elektro erozyon, metal tozu, dielektrik sıvısı

## Electrode Discharge Machining By Adding Metal Powder to Dielectric Fluid

## ABSTRACT

Powder mixed electrode discharge machining is a special type of classical electrode discharge machining in which electrical sparks are used for material removal. Powder mixed electrode discharge machining is based on the idea of adding conductive metal powders to dielectric fluid for enhancing process performance. In a continuously stirred dielectric fluid by a stirrer, conductive metal powders that move in the working gap between electrode and work piece are used for transferring current from electrode to work piece. Due to these metal powders, faster sparking, more material removal rate and better surface finish can be obtained. In this paper, a review of research work is presented and possible future implementation of this process is given.

**Keywords :** Electrode discharge, metal powder, dielectric fluid

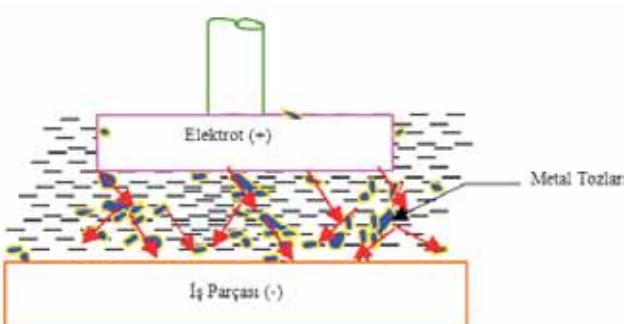
Geliş tarihi : 30.09.2011  
Kabul tarihi : 23.12.2011

## 1. GİRİŞ

**E**lektro erozyon ile işleme alışılmamış imal usulleri arasında en popüler olan yöntemdir. Bu yöntemle elektrik iletken olan her malzeme şekli, direnci ve sertliğinden bağımsız olarak işlenebilir. Bu yöntemde iş parçası ve elektrot birbirine temas etmediği için işleme sırasında mekanik gerilim, titreşim vb. problemler görülmez [1]. İlk elektro erozyon ile işleme çalışmaları İkinci Dünya Savaşı sırasında Technical Institute of Moscow'da B.R. ve N.I. Lazarenko tarafından yapılmıştır [2]. Lazarenkolar tarafından RC güç kaynağı kullanılarak geliştirilen EEİ sisteminde metalin yüzeyinde buharlaşan malzeme ile zor işlenen metallerin kontrollü işleme yöntemi başarılı bir şekilde denenmiştir. Yapılan bu çalışma daha sonra B.R. Lazarenko tarafından 1943 yılında "To invert the effect of wear on electric power contacts" isimli makalede açıklanmıştır [3]. Fakat elektro erozyon ile işleme mantığı 1770'lere götürülebilir. Bu yıllarda elektriksel kivircıların aşındırma etkisi olduğu İngiliz kimyacı Joseph Priestly tarafından keşfedilmiştir. 1950'lere kadar fazla bilgi sahibi olunamayan bu teknoloji ABD'de bu yıllardan itibaren önem kazanmaya başlamıştır. 1960'ların sonunda elektronik kontrol sistemlerinin gelişmesiyle bu yöntem güvenilir ve hassas bir talaş kaldırma методu olarak kabul edilmiş ve EEİ tezgâhları üretilmeye başlanmıştır. 1968 yılında ise Mukoyama, uygulanan enerji ile iş parçası yüzeyinde oluşan çukurların şekli arasındaki ilişkiyi analiz etmek için bir ısı iletim modeli kullanmıştır [4]. 1980'li yıllarda ise CNC EEİ tezgâhi Amerika'da tasarılanarak tanıtılmıştır. Bu tarihten itibaren yapılan çalışmalar hız kazanmış ve günümüzde özellikle kalıp üretiminde sıkılıkla kullanılmaktadır [5, 6].

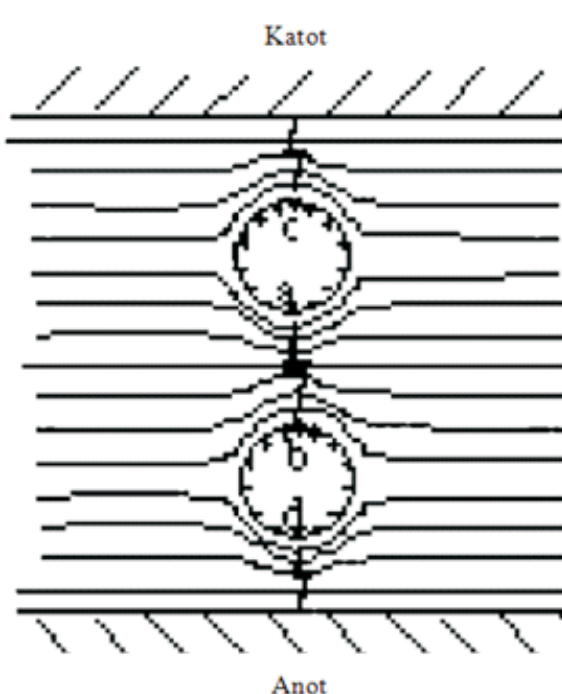
## 2. TOZ KATKILI ELEKTRO EROZYON İLE İŞLEME

Elektro erozyon ile işlemenin 1940'lı yıllarda kullanılmaya başlanmasıından bu yana işleme performansını artırmak için çeşitli çalışmalar yapılmaktadır. Bunlardan biri dielektrik sıvısına metal tozu eklenmesidir. Bu işleme toz katkılı elektro erozyon ile işleme denilmektedir. Toz katkılı elektro erozyon ile işlemede metal tozlarının dielektrik sıvısına katılmasıyla

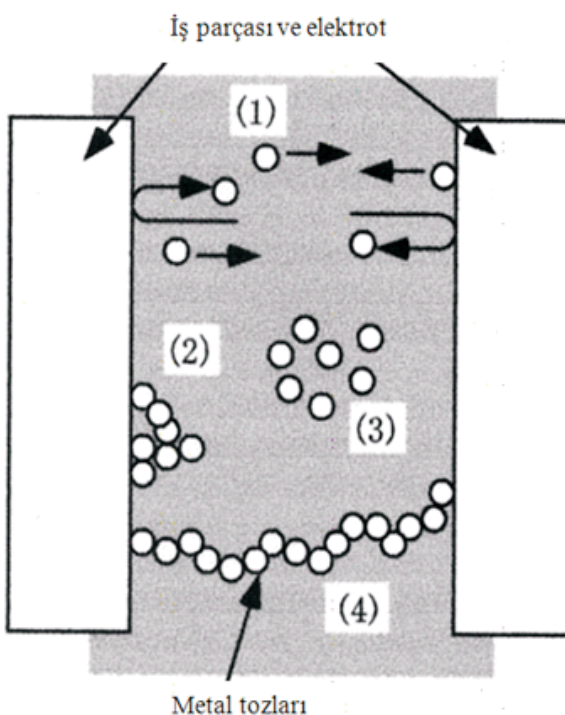


Şekil 1. Toz Katkılı Elektro Erozyon İle İşlemede Metal Tozlarının Hareketi [1]

dielektrik sıvısının yalıtkanlık direnci düşer, iş parçası ile elektrot arasındaki kivircım boşluğu artar. Bu sayede işleme



Şekil 2. Toz Katkılı Elektro Erozyon İle İşleme Mekanizması [8]



Şekil 3. Toz Katkılı Elektro Erozyon İle İşlemede Metal Tozlarının Hareketleri [9]

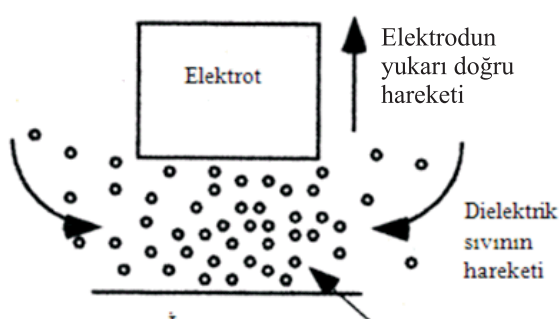
daha düzenli bir hâl alır ve sonuçta daha pürzsüz yüzeyler elde edilir. Yapılan araştırmalar dielektrik sıvısına metal tozu karıştırılmasının malzeme aşındırma oranını artttığını, yüzey pürzülüğünü azalttığını, paslanma ve aşınma direncini artttığını göstermiştir [1, 7].

### 2.1 Toz Katkılı Elektro Erozyon ile İşleme Mekanizması

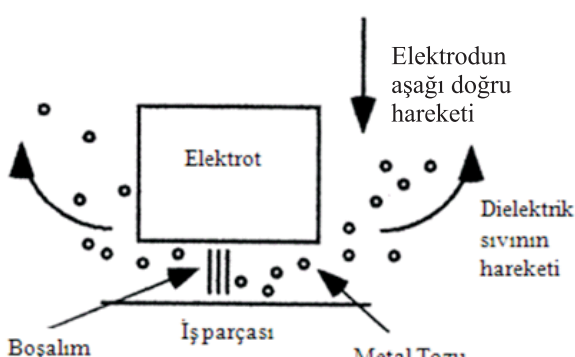
Toz katkılı elektro erozyon ile işleme sırasında uygun bir metal tozu dielektrik sıvısına ya aynı tankta, ya da ayrı bir tankta ilave edilir. Toz katkılı dielektrik sıvının daha iyi dolaşımı için pervane ve pompadan oluşan bir sistem dielektrik sıvısını sürekli karıştırır. Elektrot ile iş parçası arasına 80-320 V değerinde voltaj uygulandığı zaman ara boşlukta bulunan metal tozları enerji yüklenir ve zızkaklar çizerek hareket eder (Şekil 1). Birbirlerine yaklaşan metal tozları bir süre sonra zincir şeklinde hareket etmeye başlarlar ve elektrot ile iş parçası arasında akımın iletilemesinde aktif görev alırlar. Bu sayede daha hızlı kırılcımlama meydana gelir ve malzeme aşındırma oranı artar. Aynı zamanda bu metal tozları iş parçası ile elektrot arasında oluşan plazma

kanalının da büyümeye ve genişlemesine sebep olurlar. Yine metal tozları kırılcımlı yoğunluğunun düşmesine sebep olurlar ve bu sayede daha iyi yüzey kalitesi elde edilebilmektedir [1].

Detaylı bir şekilde açıklayacak olursak; boşalmış boşluğunda bir sürü elektrik iletken metal tozun varlığı burada meydana gelen elektriksel alanların sapmasına yol açar. Bir süre sonra uygulanan voltajın etkisiyle metal tozlarının üst ve altında pozitif ve negatif yükler oluşur. Elektrot veya iş parçasına yakın olan tozlar diğerlerine göre daha fazla elektriksel yük yoğunluğuna sahiptir. Daha sonra Şekil 2'de görüldüğü gibi birbirine yakın olan iki metal tozun a ve b gibi aralarındaki elektriksel alan yoğunluğu en yüksek olan kısımda meydana gelen etkileşim sonucunda kısa devre oluşur ve elektriksel alan dağılımı değişir. Bunun sonucunda c ve d noktalarında

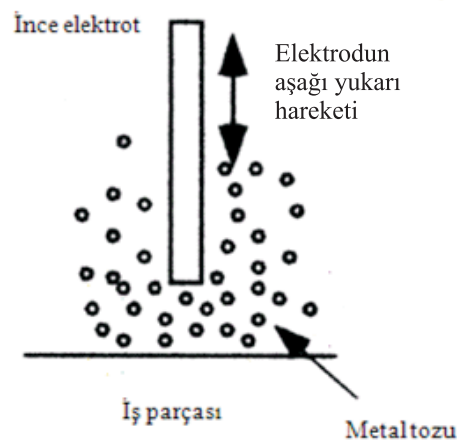


(a)

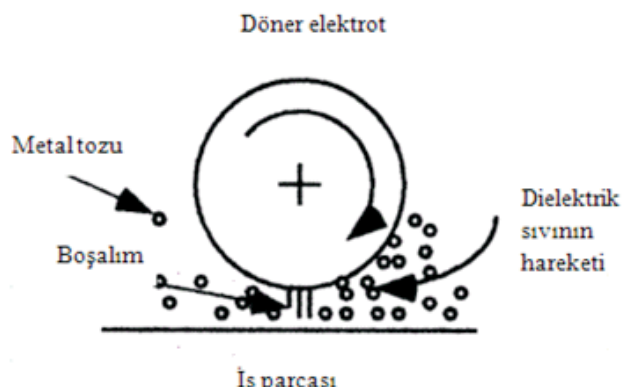


(b)

**Şekil 4.** Toz Katkılı Elektro Erozyon ile İşlemede Dielektrik Sıvının Hareketi [9]  
 (a) Elektrodun Yukarı Doğru Hareketi, (b) Elektrodun Aşağı Doğru Hareketi



(a)



(b)

**Şekil 5.** Toz Katkılı Elektro Erozyon ile İşlemede Kullanılan İki Farklı Elektrot [9]  
 (a) İnce elektrot (b) Döner elektrot

daha fazla metal tozu toplanmaya başlar ve bu metal tozları ile diğerleri arasındaki etkileşim sonucunda sürekli bir boşalım akımı geçisi oluşur. İş parçası ile elektrot arasındaki yüzlerce metal tozu bu sayede iş parçasından malzeme aşındırmaya sebep olacak boşalım akımını meydana getirir. Daha genişlemiş boşalım boşluğu da bu sayede oluşur [8].

Toz katkılı elektro erozyonla işlemede iş parçası ile elektrot arasındaki tozların dört farklı hareketi vardır. Bunlar: karşılıklı hareket (1), iş parçası veya elektroda yapışma (2), salkım şeklinde hareketsiz durma (3), zincir şeklinde hareketsiz durma (4). Şekil 3'te bu hareketler gösterilmiştir [9].

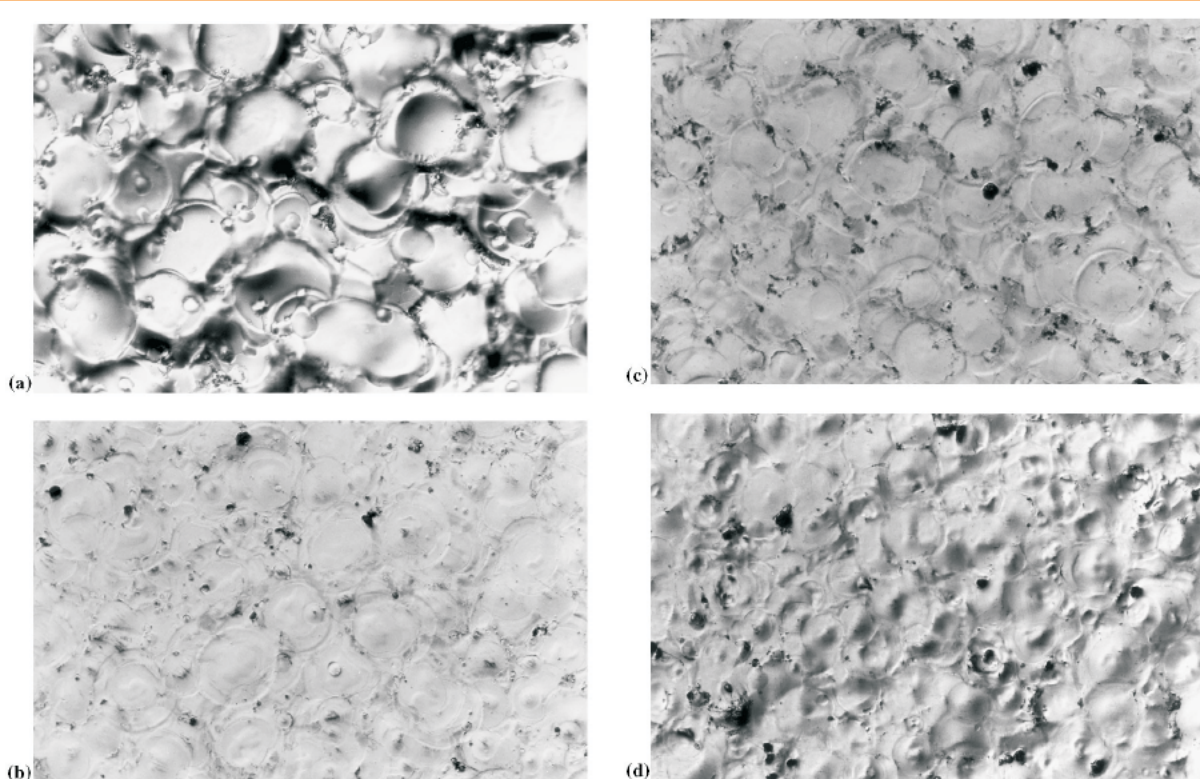
Şekil 4'te gösterildiği gibi işleme sırasında elektrot yukarı doğru hareket edince, elektrot ile iş parçası arasındaki boşluğa dielektrik sıvı ve metal tozları dolar. Fakat aradaki boşluk fazla olduğu için boşalım nadiren görülür. Elektrot aşağı doğru hareket edince ise boşalım aralığı azaldığı için boşalım daha fazla olur; ama dielektrik sıvı ile birlikte metal tozları da aradaki boşluktan uzaklaşır. İyi bir boşalım ve malzeme aşındırma için iş parçası ile elektrot arasındaki boşluktaki metal tozu yoğunluğu mümkün olduğu kadar yüksek tutulmalıdır. Bunu sağlanmanın birçok yönteminden ikisi (ince elektrot ve döner elektrot kullanımı) Şekil 5'te gösterilmiştir [9].

## 2.2 Toz Katkılı Elektro Erozyon ile İşlemede Kullanılan Tozlar

Literatürde toz katkılı elektro erozyon ile işlemede dielektrik sıvısına eklenen metal tozlarından bazıları şunlardır: Alüminyum, grafit, krom, silikon, bakır, silikon karbür, molibden sülfat [5].

Toz katkılı elektro erozyon ile işlemede kullanılan metal tozların çapları, tipi ve konsantrasyonu işleme performansını etkileyen ana etkenlerdir. Metal tozu çapı 15  $\mu\text{m}$ 'den az olmalıdır. Daha büyük çaptaki metal tozlarının kullanımı boşalım boşluğunu artırmakla birlikte, malzeme aşındırma oranını düşürür ve yüzey kalitesini azaltır. Çoğu durumda 30 g/l metal tozu konsantrasyonu verimli bir işleme için yeterlidir. Alüminyum tozları yüksek malzeme aşındırma oranına, silikon ve grafit tozları ise yüzeyde daha az derin çukurlar oluşmasına ve dolayısıyla daha iyi yüzey kalitesi elde edilmesine yol açar [10].

Şekil 6'da farklı metal tozlarının dielektrik sıvısına katılmasıyla yapılan elektro erozyon işleminde elde edilen yüzey profilleri görülmektedir. Buna göre normal elektro erozyon ile işlemede elde edilen yüzeylerdeki çukurlar dalgalı bir yapıya sahiptir ve bu yüzden yüzey mat bir görünüm arz eder. Silikon tozu katkılı işlemede elde edilen yüzeyler, grafit tozu katkılı işlemede elde



**Şekil 6.** Toz Katkılı Elektro Erozyon İle İşlemede Elde Edilen Yüzeyler; (a) Metal Tozu Katkısız, (b) Grafit Tozu Katkılı, (c) Silikon Tozu Katkılı, (d) Molibden Sülfat Tozu Katkılı [11]

edilen yüzeylere göre daha geniş çukurlara sahiptir. Ama bu çukurların derinlikleri metal tozu katkısız işlemelerde elde edilen yüzeylere göre daha azdır. Molibden sülfat tozu katkılı işlemelerde ise yüzeylerde oluşan çukurlar, dalgalı bir yapıya sahiptir ve bu yüzden yüzey donuk görünür [11].

### 3. TOZ KATKILI ELEKTRO EROZYON İLE İŞLEME ÜZERİNE YAPILAN ÇALIŞMALAR

İletken toz metallerin dielektrik sivisına katılmasıyla daha iyi işleme performansı ve yüzey kalitesi elde etmek için çalışmalar yapılmıştır.

Erden ve Bilgin (1980) pırınc çelik ve bakır çelik çiftlerinin elektro erozyon ile işlenmesinde dielektrik sivisına farklı tozların (bakır, alüminyum, demir ve karbon) karıştırılmasının işlem performansına etkilerini incelemiştir. Bu tozların konsantrasyonu arttıkça malzeme aşınma oranının arttığını, fakat belli bir konsantrasyondan sonra, elektrot ile iş parçası arasındaki boşlukta fazla miktarda toz birikmesinin kısa devre oluşumuna yol açmasından dolayı işlemenin düzensiz olduğunu belirtmişlerdir [12].

Jeswani (1981), dielektrik sivisına grafit tozu eklenmesinin malzeme aşındırma oranını % 60 oranında artttığını, elektrot aşınma oranını ise % 15 oranında azalttığını belirtmiştir [13].

1983 yılında Koshy ve ark. dielektrik sivisına katılan farklı tozların, işlem sırasında hidrokarbon bazlı dielektrik sivisından ayrısan karbon atomları ile birleşerek iş parçası yüzeyinde metal karbür bir tabaka oluşturduğunu incelemiştir [14].

Narumiya ve ark. (1989), uygun işleme koşullarında dielektrik sivisına alüminyum ve grafit tozu eklenmesiyle elde edilen yüzey pürüzlülüğünün, silikon tozu eklenmesiyle elde edilene göre çok düşük olduğunu belirtmişlerdir [15].

Mohri ve ark. (1991) H-13 kalıp çeliğinin elektro erozyon ile işlenmesinde dielektrik sivisına silikon tozu eklenmesinin işlem performansı üzerine etkilerini inceledikleri çalışmalarda, 2 $\mu$ m yüzey pürüzlülüğüne sahip yüzey elde etmişlerdir [16].

Yan ve Chen (1994), SKD11 ve Ti-6Al-4V alaşımı iş parçalarının elektro erozyon ile işlenmesinde dielektrik sivisına alüminyum ve silikon karbür tozu ilave edilmesinin etkisini inceledikleri çalışmalarda, malzeme aşındırma oranında ciddi bir artış sağlamışlardır. Ama toz ilavesiz işleme göre daha kötü yüzeyler elde etmişlerdir [17, 18].

Rajurkar ve Nooka (1994) dielektrik sivisına metal tozu ilave edilmesi üzerine yaptıkları çalışmada, metal tozu ilavesinin boşalım boşluğunu azalttığını belirtmişlerdir [19].

Ming ve ark. (1995), dielektrik sivisına iletken, inorganik

oksit tanecikleri karıştırılmasıyla daha iyi yüzey pürüzlülüğü, daha düşük elektrot aşınma oranı ve daha yüksek malzeme aşındırma oranı elde etmişlerdir [20].

Yu ve ark. (1996), tungsten karbürün elektro erozyon ile işlenmesinde dielektrik sivisına alüminyum tozu ilavesinin etkilerini inceledikleri çalışmalarında, metal tozu ilavesiz işleme göre daha geniş boşalım boşluğu ve daha yüksek malzeme aşındırma oranı tespit etmişlerdir [21].

Okada ve ark. (2000), dielektrik sivisına karbon tozu katılmasıının iş parçası yüzeyinde karbür tabaka oluşturduğunu incelemiştir [22].

Chow ve ark. (2000), Ti-6Al-4V iş parçasının bakır elektrotlarla elektro erozyon ile işlenmesinde dielektrik sivisına alüminyum ve silikon karbür tozu ilave edilmesinin etkilerini inceledikleri çalışmalarında, dielektrik sivisi olarak saf gaz yağı kullanıldığı duruma göre metal tozu ilave edilmiş işlemlerde malzeme aşındırma oranı ve elektrot aşınma oranının arttığını belirtmişlerdir. SiC tozu ilavesi Al tozu ilavesine göre malzeme aşındırma oranı ve elektrot aşınma oranını daha fazla arttırmıştır. Dielektrik sivisına metal tozu ilavesi iş parçası ile elektrot arasındaki boşluğu arttırmış ve boşalım enerjisini yayılmasını sağlayarak daha iyi yüzey kalitesi elde edilmesini sağlamıştır. Al tozu ilave edilmiş işlemlerde en iyi yüzey kalitesi sağlanmıştır [23].

Uno ve ark. (2001) dielektrik sivisına nikel ve grafit tozu katılmasıının etkilerini inceledikleri çalışmalarında, iki farklı deney yapmışlardır. Öncelikle alüminyum bronz iş parçasının 15 mm çapında bakır elektrotlarla işlenmesinde gaz yağına 0-40 g/l arası yoğunluklarda 5  $\mu$ m'den küçük çaplarda nikel tozu karıştırılmışlardır. Deney sonucunda yüzeyde nikel tabakasının oluştuğunu ve bu tabakanın kalınlığının nikel tozu konsantrasyonu ile doğru orantılı olarak arttığını belirtmişlerdir. Metal tozu katkısız işlemeye göre daha sert ve daha iyi yüzey kalitesine sahip yüzey elde edilmiştir. Daha sonra SKD61 kalıp çeliğinin 15 mm çapında titanyum elektrotlarla işlenmesinde dielektrik sivisına 0-15 g/l arasında değişen yoğunluklarda 30  $\mu$ m'den küçük çaplarda karbon tozu ilave etmişlerdir. Bu sefer yüzeyde sert bir titanyum karbür tabakası olmuştur ve yüzey kalitesi metal tozu ilavesiz işleme göre daha iyidir. Araştırmacılar her iki durumda da kullanılacak olan kalının paslanmaya karşı direncini artırmak ve sertleştirmek için dielektrik sivisına metal tozu ilave edilmesinin uygun bir yöntem olduğunu belirtmişlerdir [24].

Tzeng ve Lee (2001) yaptıkları çalışmada, dielektrik sivisi olarak su ve metal tozu karışımı kullanıldığı zaman elektrot aşınma oranının ciddi oranda düşüğünü belirtmişlerdir [25].

Furutani ve ark. (2001), AISI 1049 iş parçasının elektro erozyon ile işlenmesinde dielektrik sivisına titanyum tozları katılmasıının etkilerini inceledikleri çalışmalarında, iş parçası yüzeyinde TiC tabaka elde etmişlerdir [9].

Tanı ve ark. (2001), yalıtkan seramiklerin elektro erozyon ile işlenmesinde dielektrik sıvısına farklı metal tozlarının ilave edilmesinin etkilerini inceledikleri çalışmalarında, her ne kadar malzeme aşındırma oranında ciddi bir artış tespit etseler de yüzey pürüzlülüğünü fazla değiştirememiştir [26].

Rozeneck ve ark. (2001), elektro erozyon ile işlenmede dielektrik sıvısı olarak gazyağı ve farklı konsantrasyonlarda metal tozu ilaveli iyonaşmamış suyun kullanımının farklılarını inceledikleri çalışmalarında, metal tozu ilaveli işlemlerde hem malzeme aşındırma oranının hem de elektrot aşınma oranının arttığını tespit etmişlerdir [27].

Toz katılı elektro erozyon ile işleme çok iyi yüzey kalitesine yol açtığı için daha çok son işlenmede kullanılmaktadır. Zhao ve ark. (2002) yaptıkları deneylerde; boşalım boşluğununda çok fazla boşalım enerjisinin yok olmasının ve iş parçası üzerinde eriyen malzemenin süpürülmesi için gerekli olan kuvvetin daha düşük olmasının kaba işlenmede düşük verimliliğe yol açtığını göstermişlerdir [8].

Furutani ve Shimizu (2003) dielektrik sıvısına molibden sülfit tozu ilave edilmesiyle iş parçası yüzeyinde oluşan tabaka sayesinde, uzay ortamında yüksek vakum uygulamalarında kullanılabilen parçalar üretmişlerdir [28].

Kozak ve ark. (2003) yaptıkları çalışmada; dielektrik sıvısına metal tozu ilavesinin elektrot aşınma oranı ve yüzey pürüzlülüğünü ciddi oranda azalttığını belirtmişlerdir [29].

Peças ve Henriques (2003), AISI H13 iş parçasının elektro erozyon ile işlenmesinde dielektrik sıvısına 2 g/l silikon tozları katılmasının etkilerini inceledikleri çalışmalarında; silikon tozu ilavesinin yüzey pürüzlülüğünü ciddi oranda azalttığını belirtmişlerdir [30].

Yan ve Chen (2003), dielektrik sıvısına alüminyum tozu katılmasının etkisini inceledikleri çalışmalarında, malzeme aşındırma oranının arttığını; fakat daha kötü yüzey pürüzlülüğü değerleri elde edildiğini belirtmişlerdir [31].

Dewes ve ark. (2003) yaptıkları çalışmada, yarı sinterlenmiş toz metal elektrotlar kullanarak veya dielektrik sıvısına metal tozu ekleyerek iş parçası yüzeyinde istenilen malzemede bir tabaka oluşturabileceğini belirtmişlerdir. Elde edilen tabakanın, iş parçasının sertliğinden daha yüksek bir sertlik değerine sahip olduğunu ifade etmişlerdir [32].

Klocke ve ark. (2004), Inconel 718 iş parçasının elektro erozyon ile işlenmesinde dielektrik sıvısına alüminyum ve silikon tozları katılmasının etkilerini inceledikleri çalışmalarında; alüminyum tozu ilaveli işlemlerde en yüksek malzeme aşındırma oranı elde etmişlerdir. Silikon tozu ilaveli işlemlerde; iş parçası üzerinde oluşan beyaz tabakanın altında gri bir tabaka gözlemlenmiştir. Bunun sebebi olarak silikonun yüksek yayılma ısisı gösterilmiştir [33].

Özerkan ve Çoğun (2005)'un, SAE 1040 çeliğinin bakır

elektrotlar kullanılarak elektro erozyon ile işlenmesinde, gazyağı dielektrik sıvısına 5,10 ve 15 g/l grafit ve borik asit (H<sub>3</sub>BO<sub>3</sub>) tozu ilavesinin işlem performansına etkilerini inceledikleri çalışmalarında; en iyi yüzey pürüzlülüğü değeri grafit tozu ilavesiyle elde edilmiştir. Bunun sebebi grafit tozlu işlemelerde; işleme aralığında oluşan toz köprülerinin boşalım süresince daha fazla sayıda boşalım kanalı oluşturularak, H<sub>3</sub>BO<sub>3</sub> tozu ve tozsuz dielektrik sıvıya göre aynı boşalım enerjisini birim işleme alanına daha düşük yoğunlukta iletmektedir. Grafit tozlu deneylerde toz konsantrasyonun ve vurum süresinin artmasıyla saf gazyağı ve H<sub>3</sub>BO<sub>3</sub> tozlu deneylere nazaran çok daha yüksek işleme hızı değerlerine ulaşmıştır. Grafit tozu karışımı deneylerde artan toz konsantrasyonu ve düşük vurum süresinde saf gazyağı ve H<sub>3</sub>BO<sub>3</sub> tozu ile yapılan deneylere göre yüksek elektrot aşınma hızı elde edilmiştir. Grafit tozlu deneylere vurum süresinin artışıyla saf gazyağı ve H<sub>3</sub>BO<sub>3</sub> tozlu deneylere göre bağıl aşınma değerlerinde belirgin bir artış görülmüştür. Grafit tozonun kullanıldığı deneylerde H<sub>3</sub>BO<sub>3</sub> tozuna göre daha yüksek sertlik değerleri gözlemlenmiştir. Bu sonuç karbonun yüzey tabakasında martenzit oluşumunu artırmasından dolayıdır [34].

Rival (2005), titanyum alaşımının tungsten elektrotlar kullanılarak elektro erozyon ile işlenmesinde dielektrik sıvısına SiC tozu katılmasının etkisini incelediği çalışmasında, 2 g/l'ye kadar olan konsantrasyonlarda iyi yüzey kalitesi elde edildiğini, ama özellikle 6 g/l'den yüksek konsantrasyonlarda yüzey kalitesinin bozulduğunu belirtmiştir. Toz konsantrasyonu arttıkça yüzeye görülen mikro çatlakların ciddi oranda azaldığını ifade etmiştir [35].

Yih-fong ve Fu-chen (2005), SKD-11 iş parçasının bakır elektrotlarla elektro erozyon ile işlenmesinde dielektrik sıvısına alüminyum, krom, bakır ve silikon karbür tozu ilave edilmesinin etkilerini inceledikleri çalışmalarında şu sonuçlara ulaşmışlardır: Yüzey pürüzlülüğü ve işleme sonrasında yüzeyde oluşan tabakaya en çok etki eden metal tozu özellikleri tane boyutu, tane konsantrasyonu, tane yoğunluğu, elektriksel direnç ve termal iletkenlidir. Alüminyum tozları en iyi yüzey kalitesine yol açmıştır, daha sonra sırasıyla krom, silikon karbür ve bakır tozları gelmektedir. Metal tozları eklendikçe işleme sonrasında yüzeyde oluşan tabaka kalınlığı azalmaktadır. Alüminyum tozları tabaka kalınlığını en fazla azaltmaktadır, daha sonra sırasıyla krom, silikon karbür ve bakır tozları gelmektedir [36].

Kansal ve ark. (2005), EN-31 iş çeliğinin elektro erozyon ile işlenmesinde dielektrik sıvısına farklı yoğunluklarda 20-30 µm silikon tozu ilave edilmesinin etkisini inceledikleri çalışmalarında, Si tozu yoğunluğunun artmasıyla malzeme aşındırma oranının arttığını belirtmişlerdir. Regresyon analizi ile farklı parametrelerin toz katkılı elektro erozyon ile işlemeye olan etkilerini formüleştirmiştir [37].

Kansal ve ark. (2007), ise silikon tozlarını dielektrik sivisına ekleyerek yaptıkları deneylerde; silikon tozlarının dielektrik sivisının yalıtkan direncini azalttığını ve elektrot ile iş parçası arasındaki kırılcım mesafesini artttığını gözlemlemiştir. Bu sayede iş parçasından malzeme kaldırma oranının ciddi oranda arttığı görülmüştür [38].

Kolahan ve Bironro (2008) genetik algoritma kullanarak toz katkılı elektro erozyon ile işleme mekanizmasını optimize etmeye çalışmışlardır. Bu amaçla işlem değişkenleri olarak dielektrik sivisına kattıkları alüminyum tozlarının çaplarını, kariştırma konsantrasyonunu, boşalım akımını ve vurum süresini almışlardır. Elde ettikleri deney sonuçlarını ikinci derece regresyon analizi kullanarak formülleştirmiştir, daha sonra bu formüller/denklemeleri ve işlem değişkenlerini kullanarak, genetik algoritma operatörleri (seçme, çaprazlama, mutasyon vs.) yardımıyla malzeme aşınma oranı ve elektrot aşınma oranını minimize edecek işlem parametrelerini optimize etmişlerdir. İşlem sonucunda birçok parametrenin %1 hata ile tahmin edilebileceğini göstermişlerdir [39].

Peças ve Henrques (2008) dielektrik sivisına 2 g/l silikon tozu katarak yaptıkları deneylerde, metal tozu katılarak yapılan işlemlerde, metal tozsuz işlemlere göre daha iyi yüzey pürüzlülüüğü, daha az derin ve daha düşük çapta yüzey çukurları ve daha az derin beyaz katman elde edildiğini belirtmişlerdir [10].

Chow ve ark. (2008) titanyum alaşımının elektro erozyon ile işlenmesinde saf su ve saf su + metal tozunun dielektrik sivisi olarak kullanıldığı durumları karşılaştırmışlardır. Dielektrik sivisi olarak saf su kullanıldığında daha yüksek malzeme aşınma oranı ve daha az elektrot aşınma oranı elde edilmiştir. Saf su ve metal tozunun dielektrik sivisi olarak kullanıldığı deneylerde ise daha az çapak oluşumu gözlemlenmiştir [7].

Kansal ve ark. (2008) toz katkılı elektro erozyon ile işlemeyi sonlu elemanlar analizi yöntemiyle termal olarak modellemişlerdir. Elde ettikleri modeli deneysel sonuçlarla karşılaştırıp deney sonuçlarıyla teorik sonuçların uyumlu olduğunu göstermişlerdir. Deneylerde iş parçası olarak AISID2 iş çeliğini, elektrot olarak 15 mm çapında bakır elektrotları, dielektrik sivisi olarak içerisine 30  $\mu\text{m}$  boyutunda, 2 g/l yoğunlukta grafit tozu ilaveli gaz yağını kullanmışlardır [40].

Singh ve ark. (2008) 6061 Al/Al<sub>2</sub>O<sub>3</sub>P/20p iş parçasının bakır elektrotlarla elektro erozyon ile işlenmesinde işlem parametrelerinin etkisini inceledikleri çalışmalarında, dielektrik sivisına silikon karbür tozları ilave etmişlerdir. Tanecik boyutu, tanecik yoğunluğu ve boşalım akımının yüzey pürüzlülüğüne en çok etki eden parametreler olduğunu belirtmişlerdir [41].

Mahdi ve ark. (2009) borosilikat camın çelik elektrotlar

kullanılarak elektro erozyon ile işlenebilirliğini inceledikleri çalışmalarında, musluk suyuna 40 g/l grafit tozu eklemiştir. Elde edilen yüzey pürüzlülüüğü değerleri (0.003-0.012  $\mu\text{m}$ ), daha önceden yapılan çalışmalarla karşılaştırıldığında, yazarlar dielektrik sivisına grafit tozu katılması, alüminyum veya silisyum tozu katılmasıyla edilen yüzey kalitesinden daha iyi sonuç verdiği belirtmişlerdir [42].

Prabhu ve Vinayagam (2009) AISI-D2 takım çeliğinin grafit elektrotlarla elektro erozyon ile işlenmesini inceledikleri çalışmalarında, dielektrik sivisına karbon nanotüpelerini ilave etmişlerdir. Karbon nanotüplü dielektrik sivisi kullanıldığında elde edilen yüzey pürüzlülüüğü değerlerinin, dielektrik sivisi olarak saf gaz yağı kullanılarak elde edilen değerlerden en az %50 az olduğunu göstermişlerdir [43].

Furutani ve ark. (2009) dielektrik sivisına titanyum tozu ilave edilmesinin işlem performansı üzerine etkilerini inceledikleri çalışmalarında, işlem sırasında dielektrik sivisından ayrısan karbon atomları ile titanyum tozlarının birleştiğini ve iş parçası yüzeyinde titanyum karbür tabakası oluşturduğunu belirtmişlerdir [44].

Prihandana ve ark. (2009) elektro erozyon ile işledeme dielektrik sivisına bakır, silikon karbür ve molibden sülfat tozları eklenmesinin işlem performansına etkilerini inceledikleri çalışmalarında, bakır tozu eklenmesiyle en çok malzeme aşınma oranını elde edildiğini, daha sonra sırasıyla silikon karbür ve molibden sülfatın geldiğini belirtmişlerdir. Bunun sebebi bakırın diğer ikisine göre daha yüksek yoğunluğa ve elektriksel iletkenliğe sahip olmasıdır. Yüzey pürüzlülüüğü açısından ise, en iyi yüzey kalitesi molibden sülfat tozu eklenmesiyle elde edilmiştir. Daha sonra sırasıyla bakır ve silikon karbür tozları gelmektedir. Bunun sebebi molibden sülfat tozunun boyutunun diğer ikisine göre daha küçük olmasıdır. Dolayısıyla tanecik büyülüğu arttıkça yüzey pürüzlülüüğü artmaktadır [45].

Prihandana ve ark. (2009) bakır, bakır tungsten ve gümüş tungsten iş parçalarının elektro erozyon ile işlenmesinde dielektrik sivisına molibden sülfat tozu katılması ve dielektrik sıvı tankının titreşirilmesinin ortaklaşa etkisini inceledikleri çalışmalarında, molibden sülfat (sırasıyla 2 ve 5 g/l) katısının boşalım frekansını ve dolayısıyla malzeme aşındırma oranını artttığını belirtmişlerdir. Yine molibden sülfat katkısı akım yollarının yüzeyin tamamına yayılmasına yardımcı olmuştur. Bu sayede daha iyi yüzey kalitesi elde edilmiştir [46].

Wu ve ark. (2009) SKD 61 çeliğinin 8 mm çapında bakır elektrotlarla elektro erozyon ile işlenmesinde gaz yağı olarak kullanılan dielektrik sivisına Span 20 ve Span 80 adlarında 10-100 g/l aralığında değişen yoğunluklarda yüzey etkin madde (surfactant) ilave etmişlerdir. Span 20'den 30 g/l ilave edilince malzeme aşındırma oranının %40 arttiği gözlemlenmiştir. Elektriksel parametreler uygun bir şekilde seçildiğinde

malzeme aşındırma oranının %85'e varan oranlarda arttığı gözlemlenmiştir. Malzeme aşındırma oranının yüksek olduğu durumlarda bile yüzey pürüzlülüğünün kötü olmadığı, dengesiz boşalım durumlarıyla çok fazla karşılaşılmadığı ve bundan dolayı yüzeye oluşan tabaka kalınlığının saf gazyağı kullanıldığından elde edilen tabaka kalınlığından az olduğu belirtilmiştir. Elektriksel iletkenliği artırmak için yüzey etkin maddenin kullanılabileceği belirtilmiştir [47].

Chen ve Lin (2009) Al-Zn-Mg iş parçasının bakır elektrotlarla elektro erozyon ile işlenmesinde dielektrik sıvısına 60 g/l yoğunlukta TiC ilave edilmesinin etkisini inceledikleri çalışmalarında, iş parçası, yüzeyinde TiC tabaka elde etmişlerdir. Boşalım akımı ve vurum süresi arttıkça malzeme aşındırma oranı ve elektrot aşınma oranının arttığını; fakat yüzey pürüzlülüğünün kötüleştiğini belirttiler [48].

Paramjit Singh ve ark. (2010) Hastelloy'un elektro erozyon ile işlenmesinde elektriksel parametrelerin işlem performansına etkilerini inceledikleri çalışmalarında, dielektrik sıvısına 30g/5l oranında alüminyum tozu ilave etmişlerdir. Yapılan çalışmaya göre boşalım akımı ve voltaj arttıkça malzeme aşınma oranı artmaktadır ama daha kötü yüzeyler elde edilmekte, vurum süresi arttıkça malzeme aşınma oranı düşmekte ama daha iyi yüzeyler elde edilmektedir [49].

Kumar ve ark. (2010) Inconel 718'in bakır elektrotlar kullanılarak elektro erozyon ile işlenmesinde gaz yağına grafit tozu eklenmesinin işleme performansını % 26.85 oranında artttığını, 12 g/l grafit tozu eklenmesinin ise en işleme performansına yol açtığını belirttiler [50].

Garg ve Ojha (2011) AISI-4140 çeliğinin elektro erozyon ile işlenmesinde dielektrik sıvısına nikel tozu ilave edilmesinin etkilerini inceledikleri çalışmalarında, toz konsantrasyonu, kullanılan üçgen elektrodun açısı, boşalım akımı ve iş çevrimini tasarım değişkenleri olarak, malzeme aşındırma oranı ve elektrot aşınma oranını optimize edilecek parametreler olarak alıp optimizasyon yapmışlardır [51].

#### 4. SONUÇ

Bu çalışmada elektro erozyon ile işlenmede işleme performansını artırmak için dielektrik sıvısına metal tozlarının karıştırılması konusunda yapılan çalışmalar özetlenmiştir. Her ne kadar birçok araştırmacı toz katkılı elektro erozyon ile işlenmenin malzeme aşındırma oranını ve yüzey kalitesini artttığını deneyelerle ispat etse de, günümüzde bu teknoloji endüstride yaygın olarak kullanılmamaktadır. Bunun bir sebebi, bu teknolojinin işleme mekanizmasının hâlâ tam olarak anlaşılamamış olmasıdır. Diğer bir sebebi ise yüksek miktarda metal tozu kullanımı yüzünden başlangıç maliyetinin yüksek olmasıdır [1].

Literatürde yapılan çalışmalar incelendiğinde aşağıdaki konuların eksik olduğu ve bu konular üzerinde çalışmaların yapılabileceği düşünülmüştür:

- Toz katkılı elektro erozyon ile işlenmede elektriksel parametreler olarak boşalım akımı ve vurum süresinin etkileri çalışılmış olmakla beraber vurum ara süresinin etkisi incelenmemiştir [52].
- Toz katkılı elektro erozyon ile işlenen malzeme aşındırma oranı, elektrot aşınma oranı ve yüzey pürüzlülüğüne etkisi birçok çalışmada incelenmiş ama yüzeyde meydana getirdiği değişiklikler üzerinde çok az çalışma yapılmıştır [52].
- Toz katkılı elektro erozyon ile işlenmede metal tozu olarak Ni, Co, Fe, Al, Cu, Ti, C, Si, SiC kullanılmışmasına rağmen mangan, molibden, vanadyum ve krom gibi合金 elementlerinin kullanımının etkisi şu ana kadar incelenmemiştir [52].
- Metal tozu-dielektrik sıvısı konsantrasyonu, iş parçası yüzeyinde oluşan çukurlardan metal tozlarının süzülmesi, metal tozu boyutu, şekli, tipi vs. gibi parametrelerin optimizasyonu, metal tozu-dielektrik sıvısı sirkülasyonu gibi konular detaylı araştırma beklemektedir [1].
- Elektro erozyon ile işlenmede yüzeyde meydana gelen malzeme tabakası hem toz katkılı elektro erozyon ile işlenmede hem de tam preslenmemiş ve sinterlenmemiş toz metal elektrot kullanımında ortaya çıkan bir durumdur. Her iki işlem türünde iş parçası yüzeyinde meydana gelen malzeme tabakasının konsantrasyonu, kalınlığı, mekanik özellikleri üzerine çalışmalar yapılmış olmasına rağmen [53, 54, 55, 56, 57], iki işlem türünü karşılaştıracak çalışma henüz yapılmamıştır [58].
- Klasik elektro erozyon ile işlenenin matematiksel, ıslı ve fiziksel modellenmesine ait çalışmalar literatürde mevcut olmasına rağmen [59, 60, 61, 62, 63, 64, 65, 66, 67], toz katkılı elektro erozyon ile işlenenin modellenmesine ait çalışmalar araştırılmayı beklemektedir.
- Literatür incelendiğinde toz katkılı elektro erozyon ile işlenmede her seferinde tek türde toz kullanıldığı görülmüştür. Farklı iki veya daha fazla türde tozun dielektrik sıvısına katılmasının etkileri araştırılmayı beklemektedir.
- Toz katkılı elektro erozyon ile işlenmede tozların dielektrik sıvısı içerisindeki hareketleri malzeme aşınması, elektrot aşınması ve yüzey pürüzlülüğü açısından önemlidir. Bunun için dielektrik sıvı tankının karıştırılması yanı sıra dielektrik sıvı tankının, iş parçasının veya elektrodun titreşimi denenebilir. Klasik elektro erozyon ile işlenmede titreşimin etkileri incelenmiş olmasına rağmen [68, 69, 70, 71, 72, 73], toz katkılı elektro erozyon ile işlenmedeki etkileri tek bir çalışma hariç [46] yeteri kadar incelenmemiştir.

#### KAYNAKÇA

1. Kansal, H. K., Singh, S., Kumar, P. 2007. "Technology and Research Developments in Powder Mixed Electric

- Discharge Machining (PMEDM)," *Journal of Materials Processing Technology*, vol.184, no.1-3, p.32-41.
2. **Ho, K. H., Newman, S. T.** 2003. "State of the Art Electrical discharge machining," *International Journal of Machine Tools & Manufacture*, vol.37, no.11, p.1287–1300.
  3. **Kunieda, M., Lauwers, B., Rajurkar, K.P., Schumacher, B.M.** 2005. "Advancing EDM Through Fundamental Insight Into The Process," *CIRP Annals-Manufacturing Technology*, vol.54, no.2, p.64-87.
  4. **Hocheng, H., Lei, W. T., Hsu, H. S.** 1997. "Preliminary Study of Material Removal in Electrical-Discharge Machining of SiC/Al," *Journal of Materials Processing Technology*, no.63, p.813-818.
  5. **Abbas, N. M., Solomon, D. G., Bahari, M. F.** 2007. "A Review on Current Research Trends in Electrical Discharge Machining (EDM)," *International Journal of Machine Tools and Manufacture*, vol.47, no.7-8, p.1214-1228.
  6. **Ojha, K., Garg, R. K., Singh, K. K.** 2010. "MRR Improvement in Sinking Electrical Discharge Machining: a Review," *Journal of Minerals & Materials Characterization & Engineering*, vol.9, no.8, p.709-739.
  7. **Chow, H. M., Yang, L.D., Lin, C. T., Chen, C.F.** 2008. "The Use of SiC Powder in Water as Dielectric For Micro-Slit EDM Machining," *Journal of Materials Processing Technology*, vol.195, no.1-3, p.160-170.
  8. **Zhao, W. S., Meng, Q. G., Wang, Z. L.** 2002. "The Application of Research on Powder Mixed EDM in Rough Machining," *Journal of Materials Processing Technology*, vol.129, no.1-3, p.30-33.
  9. **Furutani, K., Saneto, A., Takezawa, H., Mohri, N., Miyake, H.** 2001. "Accretion of Titanium Carbide by Electrical Discharge Machining With Powder Suspended in Working Fluid," *Journal of the International Societies for Precision Engineering and Nanotechnology*, no.25, p.138-144.
  10. **Peças, P., Henriques, E.** 2008. "Electrical Discharge Machining Using Simple and Powder-Mixed Dielectric: The Effect of the Electrode Area in the Surface Roughness and Topography," *Journal of Materials Processing Technology*, vol.200, no.1-3, p. 250-258.
  11. **Wong, Y. S., Lim, L. C., Rahuman, I., Tee, W. M.** 1998. "Near-mirror-finish phenomenon in EDM using powder-mixed dielectric," *Journal of Materials Processing Technology*, no.79, p.30-40.
  12. **Erden, A., Bilgin, S.** 1980. "Role of Impurities In Electric Discharge Machining," *Proceedings of the 21th. International Machine Tool Design and Research Conference*, Macmillan, London, p.345-350.
  13. **Jeswani, M. L.** 1981. "Effects of the Addition of Graphite Powder to Kerosene Used as the Dielectric Fluid in Electrical Discharge Machining," *Wear*, no.70, p.133–139.
  14. **Koshy, G., Philip, P.K., Geddam, A.** 1983. "Hardening of Surface Layers Using Electric Discharge Techniques," *Proceedings of the 11th AIMTDR Conference*, IIT, Madras, p.315–319.
  15. **Narumiya, H., Mohri, N., Saito, N., Otake, H., Tsnekawa, Y., Takawashi, T., Kobayashi, K.** 1989. "EDM by powder Suspended Working Fluid," *Proceedings of 9th ISEM*, p.5-8.
  16. **Mohri, N., Saito, N., Higashi, M.A.** 1991. "A New Process of Finish Machining on Free Surface by EDM Methods," *Annals of the CIRP*, no.40, p.207-210.
  17. **Yan, B.H., Chen, S.L.** 1994. "Characteristics of SKD11 by Complex Process of Electric Discharge Machining Using Liquid Suspended With Aluminum Powder," *Japan Institute of Light Metals*, vol.58, no.9, p.1067–1072.
  18. **Yan, B.H., Chen, S.L.** 1994. "Effect of Ultrasonic Vibration On Electrical Discharge Machining Characteristics Of Ti-6Al-4V Alloy," *Journal of Japan Institute of Light Metals*, vol.44, no.5, p.281–285.
  19. **Rajurkar, K.P., Nooka, S.R.** 1994. "Surface Finish of Electro Discharge Machined Components," *Proceedings of the International Conference on Advance Manufacturing Technology*, Johor, p.33-145.
  20. **Ming, Q.Y., He, L.H.** 1995. "Powder-Suspension Dielectric Fluid for EDM," *Journal of Materials Processing Technology*, no.52, p.44-54.
  21. **Yu, C.P., Chen, W.C., Chang, S.W., Chang, C.C.** 1996. "Effects of the Concentration of Suspended Aluminum Powder in Dielectric Fluid on EDM of Carbide of Tungsten's," *Proceedings of the 13th Conference of Chinese Society of Mechanical Engineers*, Taiwan, p.445–450.
  22. **Okada, A., Uno, Y., Hirao, K.** 2000. "Formation of Hard Layer by EDM With Carbon Powder Mixed Fluid Using Titanium Electrode," *Proceedings of the International Conference on Progress of Machining Technology*, p.464–469.
  23. **Chow, H. M., Yan, B. W., Huang, F. Y., Hung, J. C.** 2000. "Study of Added Powder in Kerosene For the Micro-Slit Machining of Titanium Alloy Using Electro-discharge Machining," *Journal of Materials Processing Technology*, no.101, p.95-103.
  24. **Uno, Y., Okada, A., Çetin, S.** 2001. "Surface Modification of EDMed Surface with Powder Mixed Fluid," *2nd International Conference on Design and Production of Dies and Molds*.
  25. **Tzeng, Y.F., Lee, C.Y.** 2001. "Effect of Powder Characteristics On Electro Discharge Machining Efficiency," *International Journal of Advanced Manufacturing Technology*, vol.17, no.8, p.586–592.
  26. **Tani, T., Fukazawa, F., Mohri, N., Okada, M.** 2001. "Machining Phenomena in EDM of Insulating Ceramics Using Powder Suspended Working oil," *12th ISEM Bilbao*, p.388–392.

27. **Rozene, M., Kozak, J., Dabrowski, L.** 2001. "Study of Electrical Discharge Machining Using Powder Suspended Working Media," 12th ISEM Bilbao, p.351–357.
28. **Furutani, K., Shimizu, Y.** 2003. "Experimental Analysis of Deposition Process Of Lubricant Surface by EDM With Molybdenum Disulphide Powder Suspended In Working Oil," Proceedings of the American Society for Precision Engineering, no.30, p.547–550.
29. **Kozak, J., Rozene, M., Dabrowski, L.** 2003. "Study of Electrical Discharge Machining Using Powder-suspended Working Media," Journal of Engineering Manufacture, Proceedings of the Instrumental Mechanic Engineers, no.217, p.1597–1602.
30. **Pecas, P., Henriques, E.** 2003. "Influence of Silicon Powder-mixed Dielectric On Conventional electrical Discharge Machining," International Journal of Machine Tools & Manufacture, no.43, p.1465-1471.
31. **Yan, B.H., Chen, S.L.** 2003. "Effects of Dielectric With Suspended Aluminum Powder on EDM," Journal of Chinese Society of Mechanical Engineers, vol.14, no.3, p.307–312.
32. **Dewes, R., Aspinwall, D., Simao, J., Lee, H.G.** 2003. "Electrical Machining and Surface Alloying – The Process, Parameters and State Of Play," Material World, vol.11, no.5, p.16-18.
33. **Klocke, F., Lung, D., Antonoglou, G., Thomaidis, D.** 2004. "The Effects of Powder Suspended Dielectrics on The Thermal Influenced Zone by Electrodisscharge Machining With Small Discharge Energies," Journal of Materials Processing Technology, no.149, p.191-197.
34. **Özerkan, B., Çoğun, C.** 2005. "Effect of Powder Mixed Dielectric on Machining Performance in Electric Discharge Machining (EDM)," G.U. Journal of Science, vol.18, no.2, p.211-228.
35. **Rival, R.** 2005. "Electrical Discharge Machining Of Titanium Alloy Using Copper Tungsten Electrode With SiC Powder Suspension Dielectric Fluid," Masters Thesis, Universiti Teknologi Malaysia, Faculty of Mechanical Engineering, p.16-24.
36. **Yih-fong, T., Fu-chen, C.** 2005. "Investigation into Some Surface Characteristics of Electrical Discharge Machined SKD-11 Using Powder-suspension Dielectric Oil," Journal of Materials Processing Technology, no.170, p.385-391.
37. **Kansal, H. K., Singh, S., Kumar, P.** 2005. "Parametric Optimization of Powder Mixed Electrical Discharge Machining By Response Surface Methodology," Journal of Materials Processing Technology, no.169, p.427-436.
38. **Kansal, H. K., Sehijpal, S., Pradeep, K.** 2007. "Effect of Silicon Powder Mixed EDM on Machining Rate of AISI D2 Die Steel," Journal of Manufacturing Processes, vol.9, no.1, p.13-22.
39. **Kolahan, F., Bironro, M.** 2008. "Modeling and Optimization of Process Parameters in PMEDM by Genetic Algorithm," World Academy of Science, Engineering and Technology, no.48, p.480-484.
40. **Kansal, H. K., Singh, S., Kumar, P.** 2008. "Numerical Simulation of Powder Mixed Electric Discharge Machining (PMEDM) Using Finite Element Method," Mathematical and Computer Modelling, no.47, p.1217-1237.
41. **Singh, S., Maheshwari S., Panday P.C.** 2008. "Effect of SiC Powder-suspended Dielectric Fluids On The Surface Finish of 6061 Al/Al<sub>2</sub>O<sub>3</sub>P/20p Composites During Electric Discharge Machining," International Journal of Machining and Machinability of Materials, vol.4, no.2-3, p.252-274.
42. **Mahdi, W. I., Tawfiq, M. A., Aghdeab, S. H.** 2009. "Effect of Current on Average Surface Roughness of Borosilicate Glass at EDM Machining and Comparison With Numerical Programs," Eng.& Tech. Journal, vol.27, no.6, p.1026-1038.
43. **Prabhu, S., Vinayagam, B. K.** 2009. "Effect of Graphite Electrode Material on EDM of AISI D2 Tool Steel With Multiwall Carbon Nanotube Using Regression Analysis", International Journal of Engineering Studies, vol.1, no.2, p.93-104.
44. **Furutani, K., Saito, H., Suzuki, M.** 2009. "Influence of Electrical Conditions on Performance of Electrical Discharge Machining With Powder Suspended In Working Oil For Titanium Carbide Deposition Process," The International Journal of Advanced Manufacturing Technology, vol.40, no.11-12, p.1093-1101.
45. **Prihandana, G. S., Mahardika, M., Hamdi, M., Mitsui, K.** 2009. "The Current Methods For Improving Electrical Discharge Machining Processes," Recent Patents on Mechanical Engineering, no.2, p.61-68.
46. **Prihandana, G. S., Mahardika, M., Hamdi, M., Wong, Y. S., Mitsui, K.** 2009. "Effect of Micro-Powder Suspension and Ultrasonic Vibration of Dielectric Fluid in Micro-EDM Processes—Taguchi approach," International Journal of Machine Tools & Manufacture, no.49, p.1035-1041.
47. **Wu, K. L., Yan, B. W., Lee, J. W., Ding, C. G.** 2009. "Study on the Characteristics of Electrical Discharge Machining Using Dielectric With Surfactant," Journal of Materials Processing Technology, no.209, p.3783-3789.
48. **Chen, Y. F., Lin, Y. C.** 2009. "Surface Modifications of Al-Zn-Mg Alloy Using Combined EDM With Ultrasonic Machining and Addition of TiC Particles into the Dielectric," Journal of Materials Processing Technology, no.209, p.4343-4350.
49. **Paramjit, S., Anil, K., Naveen, B., Vijay, K.** 2010. "Influence of Electrical Parameters in Powder Mixed Electric Discharge Machining (PMEDM) of Hastelloy," Journal of Engineering Research and Studies, vol.1, no.2, p.93-105.

50. Kumar, A., Maheshwari, S., Sharma, C., Beri, N. 2010. "Realizing Potential of Graphite Powder in Enhancing Machining Rate in AEDM of Nickel Based Super Alloy 718," Proc. of. Int. Conf. on Advances in Mechanical Engineering, p.50-53.
51. Garg, R. K., Ojha, K. 2011. "Parametric optimization of PMEDM Process With Nickel Micro Powder Suspended Dielektrik and Varying Triangular Shapes Electrodes on EN-19 Steel," Journal of Engineering and Applied Sciences, vol.6, no.2, p.152-156.
52. Singh, S., Bhardwaj, A. 2011. "Review to EDM by Using Water and Powder-mixed Dielectric Fluid," Journal of Minerals & Materials Characterization & Engineering, vol.10, no.2, p.199-230.
53. Simao, J., Lee, H. G., Aspinwall, D. K., Dewes, R. C., Aspinwall, E. M. 2003. "Workpiece Surface Modification Using Electrical Discharge Machining," International Journal of Machine Tools and Manufacture, no. 43, p.121-128.
54. Simao, J., Aspinwall, D., El-Menshawy, F., Meadows, K. 2002. "Surface Alloying Using PM Composite Electrode Materials When Electrical Discharge Texturing Hardened AISI D2," Journal of Materials Processing Technology, no.127, p.211-216.
55. Lee, H. G., Simao, J., Aspinwall, D. K., Dewes, R. C., Voice, W. 2004. "Electrical Discharge Surface Alloying," Journal of Materials Processing Technology, no.149, p.334-340.
56. Marafona, J. 2007. "Black Layer Characterisation and Electrode Wear Ratio in Electrical Discharge Machining (EDM)," Journal of Materials Processing Technology, no.184, p.27-31.
57. Wang, Z. L., Fang, Y., Wu, P. N., Zhao, W. S., Cheng, K. 2002. "Surface Modification Process by Electrical Discharge Machining with A Ti Powder Green Compact Electrode," Journal of Material Processing Technology, vol.129, no.1-3, p.139-142.
58. Kumar, S., Singh, R., Singh, T. P., Sethi, B. L. 2009. "Surface Modification by Electrical Discharge Machining: A Review," Journal of Materials Processing Technology, vol. 209, no.8, p.3675-3687.
59. Tsai, K. M., Wang, P. J. 2001. "Comparisons of Neural Network Models on Material Removal Rate in Electrical Discharge Machining," Journal of Materials Processing Technology, no.117, p.111-124.
60. Wang, P. J., Tsai, K. M. 2001. "Semi-Empirical Model on Work Removal and Tool Wear In Electrical Discharge Machining," Journal of Materials Processing Technology, no.114, p.1-17.
61. Sharakovskiy, L. I., Marotta, A., Essiptchouk, A. M. 2006. "Model of Workpiece Erosion For Electrical Discharge Machining Process," Applied Surface Science, no.253, p.797-804.
62. Dhar, S., Purohit, R., Saini, N., Sharma, A., Kumar, G. H. 2007. "Mathematical Modelling of Electric Discharge Machining of Cast Al-4Cu-6Si Alloy-10 wt. % SiCp Composite," Journal of Material Processing Technology, no.194, p.24-29.
63. Salman, Ö., Kayacan, M. C. 2008. "Evolutionary Programming Method for Modeling the EDM Parameters for Roughness," Journal of Material Processing Technology, no.200, p.347-355.
64. Izquierdo, B., Sanchez, J. A., Plaza, S., Pombo, I., Ortega, N. 2009. "A Numerical Model of the EDM Process Considering The Effect Of Multiple Discharges," International Journal of Machine Tools & Manufacture, no.49, p.220-229.
65. Rahman, M. M., Khan, A. R., Kadirkama, K., Noor, M. M., Bakar, A. 2010. "Modeling of Material Removal on Machining of Ti-6Al-4V Through EDM Using Copper Tungsten Electrode And Positive Polarity," World Academy of Science, Engineering and Technology, no.71, p.576-581.
66. Joshi, S.N., Pande, S.S. 2010. "Thermo-Physical Modeling of Die-Sinking EDM Process," Journal of Manufacturing Processes, no.12, p.45-56.
67. Joshi, S. N., Pande, S. S. 2011. "Intelligent Process Modelling and Optimization of Die-sinking Electric Discharge Machining," Applied Soft Computing, no.11, p.2743-2755.
68. Chern, G. L., Chuang, Y. 2006. "Study on Vibration-EDM and Mass Punching of Micro-Holes," Journal of Materials Processing Technology, no.180, p.151-160.
69. Chern, G. L., Wu, Y. E., Liu, S. F. 2006. "Development of a Micro-punching Machine and Study on the Influence of Vibration Machining in Micro-EDM," Journal of Materials Processing Technology, no.180, p.102-109.
70. Tong, H., Li, Y., Wang, Y. 2008. "Experimental Research on Vibration Assisted EDM of Micro-Structures With Non-Circular Cross-Section," Journal of Material Processing Technology, no.208, p.289-298.
71. Endo, T., Tsujimoto, T., Mitsui, K. 2008. "Study of Vibration-Assisted Micro-EDM—The Effect of Vibration on Machining Time and Stability of Discharge," Precision Engineering, no.32, p.269-277.
72. Xua, M.G., Zhang, J.H., Li, Y., Zhang, Q.H., Ren, S.F. 2009. "Material Removal Mechanisms of Cemented Carbides Machined By Ultrasonic Vibration Assisted EDM in Gas Medium," Journal of Materials Processing Technology, no.209, p.1742-1746.
73. Garn, R., Schubert, A., Zeidler, H. 2011. "Analysis of the Effect of Vibrations on the Micro-EDM Process at the Workpiece Surface," Precision Engineering, no.35, p.364-368.